

بررسی ساختار و تنوع ژنتیکی جمعیت اسب کاسپین با استفاده از اطلاعات میکروستلایت

- سیده فاطمه موسوی^۱، حمیدرضا سید آبادی^۲، علی جوانروح^۳، محمود امیری رودبار^۴ (نویسنده مسئول)
- ۱- دکتری، گروه علوم دامی، دانشکده کشاورزی، دانشگاه کردستان، سنندج، ایران.
- ۲- دانشیار، بخش بیوتکنولوژی، موسسه تحقیقات علوم دامی کشور، سازمان تحقیقات، آموزش و ترویج کشاورزی، کرج، ایران.
- ۳- استادیار، بخش ژنتیک و اصلاح نژاد دام و طیور، موسسه تحقیقات علوم دامی کشور، سازمان تحقیقات، آموزش و ترویج کشاورزی، کرج، ایران.
- ۴- استادیار، بخش علوم دامی، مرکز تحقیقات و آموزش کشاورزی و منابع طبیعی صفتی آباد-دزفول، سازمان تحقیقات، آموزش و ترویج کشاورزی، دزفول، ایران.

تاریخ دریافت: اردیبهشت ۱۴۰۳ تاریخ پذیرش: تیر ۱۴۰۳

شماره تماس نویسنده مسئول: ۰۹۳۵۹۴۷۴۶۵۴

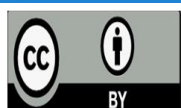
Email: mahmood.amiri225@gmail.com

شناسه دیجیتال (DOI): 10.22092/ASJ.2024.365773.2391

چکیده

هدف از انجام این تحقیق بررسی ساختار و تنوع ژنتیکی با کمک آنالیز توالی‌های تکرارشونده کوتاه در جمعیت اسب کاسپین ایران بود. برای انجام این تحقیق از اطلاعات ۱۷ جایگاه STR بدست آمده از ۵۱۴ اسب کاسپین استفاده گردید. برای تمامی جایگاه‌های STR مورد مطالعه فراوانی آللی، هتروزیگوستی مشاهده شده و مورد انتظار، غنای آللی، میزان کمبود هتروزیگوت در جمعیت (F_{is})، محتوای اطلاعات چند شکلی، آزمون هاردی-واینبرگ، تنوع ژنی، محاسبه گرددید. همچنین در این مطالعه اندازه‌ی موثر جمعیت (Ne) برای نسل حال حاضر با کمک یک برآورده‌گر تک جمعیتی بر پایه‌ی اطلاعات LD با در نظر گرفتن حد آستانه‌های مختلف جهت حذف آلل‌های کمیاب محاسبه گردید. نتایج نشان داد که تنوع آللی مشاهده شده برای جایگاه‌های STR در جمعیت کاسپین بسیار بیشتر از آن مقداری بوده که قبل از تصور می‌شد. همچنین روند تغییرات میزان هموزایگوستی در سال‌های اخیر افزایشی بوده که احتمالاً به دلیل تلاقی‌های بیشتر در بین افراد خویشاوند می‌باشد. میزان Ne برآورده شده بین ۸۴/۵ (با حذف آلل‌هایی با فراوانی کمتر از ۰/۰۵ درصد) تا ۱۳۹/۶ (بدون حذف آلل‌ها) متغیر بود. نتایج این مطالعه نشان داد که وضعیت تنوع ژنتیکی این جمعیت در شرایط مطلوبی نبوده و برای حفظ این تنوع، می‌بایست برنامه‌های حفاظتی و تلاقی‌های کنترل شده اجرا گردد.

واژه‌های کلیدی: اسب کاسپین، اندازه موثر جمعیت، تنوع ژنتیکی، توالی‌های تکرارشونده کوتاه.



Research Journal of Livestock Science No 146 pp: 43-54**Assessment of structural composition and genetic diversity in the Caspian horse population through microsatellite analysis**

By: Seyedeh Fatemeh Mousavi¹, Hamid-Reza Seyedabadi², Ali Javanrouh³, Mahmoud Amiri Roudbar (Corresponding author)⁴

1: PhD of Department of Animal Science, Faculty of Agriculture Engineering, University of Kurdistan, Sanandaj, Iran.

2: Associate Professor of Department of Biotechnology, Animal science research institute of Iran, Agricultural Research, Education & Extension Organization (AREEO), Karaj, Iran.

3: Assistant professor of Animal Breeding and Genetic Department, Animal science research institute of Iran, Agricultural Research, Education & Extension Organization (AREEO), Karaj, Iran.

4: Assistant professor of Department of Animal Science, Safiabad-Dezful Agricultural and Natural Resources Research and Education Center, Education & Extension Organization (AREEO), Dezful, Iran. Email: mahmood.amiri225@gmail.com

Received: May 2024

Accepted: July 2024

The purpose of this research was to investigate the structure and genetic diversity of the Caspian horse population in Iran using short tandem repeats (STR) analysis. Data from 514 Caspian horses were utilized, including information from 17 STR loci. Allelic frequency, observed and expected heterozygosity, allelic richness, heterozygous deficiency in the population (F_{IS}), polymorphic information content, Hardy-Weinberg test, and gene diversity were calculated for all studied STR loci. Additionally, the effective population size (N_e) for the current generation was determined using a single population estimator based on LD information, considering various thresholds to eliminate rare alleles. The results revealed that the observed allelic diversity for STR loci in the Caspian population exceeded previous estimations. Moreover, there has been an increasing trend in homozygosity changes in recent years, likely attributable to increased mating among relatives. The estimated N_e varied between 84.5 (with alleles having a frequency less than 0.05% removed) to 139.6 (without allele removal). These findings indicate that the genetic diversity of this population is not in favorable conditions, and the implementation of conservation programs and controlled crossings are necessary to maintain diversity.

Key words: Caspian horse, Effective population size, Genetic diversity, Short tandem repeats.

مقدمه

برای بررسی معیار در خطر بودن یک جمعیت برای انقراض، معیارهای مختلفی چون اندازه جمعیت، تعداد ماده های مولد، تعداد نر های مولد، مرکز جغرافیایی، اندازه مؤثر جمعیت (effective population size (N_e)) و ضریب همخوئی حائز اهمیت می باشد. جمعیت های در خطر همواره دارای جمعیت کوچک و جدا بوده که به دلیل تلاقی با خویشاوندان نزدیک دارای همخوئی نسبتا بالایی بوده که خطر انقراض به موجب افزایش افت ناشی از همخوئی افزایش می یابد (Neaves

نژادهای بومی برای ذخایر ملی و مخزن ژنتیکی ضروری هستند. بنابراین، حفظ نژادهای بومی یک اولویت در سیاست کلیدی برای کشورهای سراسر جهان می باشد. تنوع ژنتیکی پیش نیاز تکامل تطبیقی است و حفظ تنوع ژنتیکی به تلاش های حفاظتی برای بقای طولانی مدت گونه های اهلی نیاز دارد. بر اساس گزارش FAO در سال ۲۰۰۰ اسب کاسپین به عنوان نژاد در معرض خطر معرفی گردید (Scherf, ۲۰۰۰). پس از گذشت بیش از ۲۰ سال گزارش دقیقی از وضعیت جمعیت اسب های کاسپین ارائه نشده است.

از تنوع را در جمعیت های خاورمیانه نسبت به جمعیت های غربی نشان داد (A. Khanshour و همکاران، ۲۰۱۳). در یک مطالعه دیگر که بر روی اسب های کرد صورت گرفته، با کمک اطلاعات STR تنوع ژنتیکی و ساختار جمعیت مورد بررسی قرار گرفت (Amjadi و همکاران، ۲۰۲۱). در این مطالعه آماره هایی مانند میانگین تعداد آلل های مشاهده شده و موثر، هتروزیگوستی مشاهده شده و مورد انتظار، محتوای اطلاعاتی چندشکلی (polymorphism information content) و شاخص اطلاعات شانون (Shannon's Information Index) ارائه گردید. در مطالعه دیگر که بر روی اسب کاسپین صورت گرفت، وجود گلوگاه ژنتیکی (genetic Bottleneck) با کمک مطالعه بر روی ۸ جایگاه STR پیشنهاد گردید (Amirinia و همکاران، ۲۰۰۷). مهمترین پیامد گلوگاه ژنتیکی کاهش تنوع ژنتیکی و به تبع آن کاهش در Ne به دلیل رانش ژنتیکی خواهد بود که می تواند تاثیر قابل توجهی در ماندگاری نژاد داشته باشد (Nei و همکاران، ۱۹۷۵). در ژنتیک جمعیت، Ne که اولین بار توسط رایت معرفی شد (Wright، ۱۹۳۱)، یکی از مهمترین ابزارهای برای ارزیابی تنوع ژنتیکی برای اهداف حفاظتی استفاده می باشد. Ne به صورت تعداد افرادی که به طور موثر در تولید نسل بعدی شرکت می کنند، تعریف می شود (Falconer و Mackay، ۱۹۹۶). فرآیندهای تکاملی تا حد زیادی تحت تأثیر اندازه جمعیت (یا به طور دقیق تر Ne) قرار می گیرند. به طور کلی انتظار می رود تخمین های مبتنی بر اطلاعات مولکولی مانند SNP و STR دقیق تر از تخمین های مبتنی بر شجره (مخصوصا برای شجره های با کیفیت پایین) باشد (Keller و همکاران، ۲۰۱۱). با وجود اهمیت این آماره در ژنتیک جمعیت، اما تا کنون گزارشی در خصوص Ne جمعیت در نژادهای اسب ایرانی با کمک اطلاعات STR ارائه نشده است. بنابراین، هدف اصلی این مطالعه بررسی ساختار و تنوع ژنتیکی در جمعیت اسب کاسپین ایران با کمک آنالیز اطلاعات STR بود.

و همکاران، ۲۰۱۵). با استفاده از معیارهای مهم جمعیتی به همراه اطلاعات مربوط به نژاد و زیستگاه آن می توان پس از ارزیابی در سیستم های مختلف، اقدامات اولیه برای حفاظت نژاد را مشخص کرده و جهت تجزیه و تحلیل حیاتی جمعیت و پیش بینی احتمال انفراض (Meuwissen، ۲۰۰۹) و سایر پژوهش های تکمیلی که در برنامه ریزی زمان بندی شده و دقیق حفاظت کاربرد دارند، بکار گرفته شوند.

ساختار ژنتیکی جمعیت، که به عنوان جامعه افراد دارای یک مخزن ژنی مشترک تعریف می شود، از طریق اعمال فرآیند انتخاب در گذشته بر روی ژن های کنترل کننده تنوع، تشکیل یافته است. استفاده از اطلاعات مولکولی مانند ریزماهواره Short (Microsatellite) و یا توالی های تکرار شونده کوتاه (tandem repeats (STR)) می تواند به درک بهتر این ساختار ژنتیکی کمک نماید. این نشانگرهای مولکولی به دلیل چندشکلی بسیار بالا، سهولت در انجام، دقت بالای ژنتوتایپینگ، توارث ساده مندلی، توزیع گسترده آنها در ژنوم و هزینه پایین، جهت انجام آزمون انساب و همچنین بررسی تنوع ژنتیکی و ساختار جمعیت بسیار رایج می باشند (Achmann و همکاران، ۲۰۰۴؛ Dimsoski و همکاران، ۲۰۰۳؛ Jemmali و همکاران، ۲۰۱۷؛ Seyedabadi و همکاران، ۲۰۱۳؛ Khanshour و همکاران، ۲۰۰۶). وجود تنوع ژنتیکی گونه های جانوری برای حفظ و پیگیری اهداف اصلاح نژادی برای بهبود ژنتیکی ضروری است (Notter، ۱۹۹۹). تا کنون مطالعات زیادی در خصوص بررسی تنوع ژنتیکی با کمک اطلاعات STR در اسب انجام شده است (Achmann و همکاران، ۲۰۰۴؛ A. Khanshour و همکاران، ۲۰۱۳؛ Machmoum و همکاران، ۲۰۲۰؛ Rahimi-Mianji و Shahsavarani، ۲۰۱۰). در مطالعه ای که به بررسی تنوع ژنتیکی و ساختار جمعیتی از جمعیت های مختلف اسب عرب در سرتاسر دنیا شامل ۳ جمعیت از خاورمیانه (سوریه، ایران و عربستان سعودی) و مابقی شامل جمعیت عرب های کشورهای غربی در اروپا (عرب شگیا و عرب لهستانی) و در آمریکا (عرب آمریکایی) پرداخته شد، وجود سطح بالاتری

مواد و روش‌ها

اطلاعات مورد استفاده

در این مطالعه از اطلاعات STR موجود برای ۵۱۴ اسب کاسپین که از انجمن حفاظت از اسب کاسپین (caspian conservation society CCS) بدست آمده بود استفاده گردید. برای انجام ژنتوتایپینگ STR، تعداد حداقل ۵۰ نمونه موی اسب‌های کاسپین که دارای پیازچه مو بودند، جمع آوری شد. سپس این نمونه‌ها به آزمایشگاه بیولوژی مولکولی و ژنتیک در دانشگاه مادرید که مورد تایید انجمن بین‌المللی ژنتیک حیوانات^۱ نیز می‌باشند، جهت استخراج DNA و ژنتوتایپینگ جایگاه‌های STR ارسال شدند. به طور کلی از اطلاعات ژنتوتایپینگ برای تعداد ۱۷ جایگاه STR که طی سال‌های ۱۳۴۷ تا ۱۴۰۱ جمع آوری شده بود، استفاده گردید. این جایگاه‌های مورد مطالعه (و AHT4، ASB2، ASB17، AHT5، HMS3، CA425، ASB23، HMS2، HTG10، HMS7، HMS6، LEX3، HTG7، HTG6، HTG4 و VHL20) تعداد نمونه ژنتوتایپ شده برای آن جایگاه شامل: (۵۱۲)، (۴۹۹)، (۳۷۱)، (۵۰۲)، (۴۸۷)، (۵۱۳)، (۵۱۴)، (۵۰۸)، (۳۸۲)، (۲۹۶) و (۳۸۲) بودند.

آنالیزهای آماری

ابتدا فراوانی آللی و هتروزیگوستی مشاهده شده (H_0) و مورد انتظار (H_e) این جایگاه‌ها محاسبه گردید. یکی از آماره‌های مفید برای بررسی اطلاعات ژنتوتایپ غنای آللی (allelic richness (R_s)) بوده که نشان دهنده میزان تعداد آلل مستقل از تعداد نمونه می‌باشد. به طور کلی تعداد آلل مشاهده شده در یک نمونه به میزان بسیار زیادی به تعداد نمونه بستگی دارد El Mousadik و Petit (۱۹۹۶). برای محاسبه این آماره از فرمول زیر استفاده گردید:

$$R_s = \sum \left[1 - \frac{\binom{2N-N_i}{2n}}{\binom{2N}{2n}} \right].$$

در این معادله، N_i تعداد آلل نوع i در میان $2N$ ژن، و n برابر کمترین تعداد افراد ژنتوتایپ شده برای یک جایگاه می‌باشد.

همچنین تنوع ژئی (gene diversity)، که نشان دهنده

^۱ The International Society of Animal Genetics

هتروزیگوستی مورد انتظار (H_s) در جمعیت مورد مطالعه بر اساس فراوانی آللی مشاهده شده می‌باشد، محاسبه گردید (Nei، ۱۹۸۷). برای برآورد این آماره از برآوردگر ناریب:

$$H_s = \frac{n}{n-1} \left(1 - \sum_{i=1}^a p_i^2 - \frac{H_o}{2n} \right)$$

استفاده شد. در این معادله H_o هتروزیگوستی مشاهده شده، n تعداد نمونه و p_i فراوانی آلل i می‌باشد. برای هر جایگاه آماره F_{is} که نشان دهنده میزان کمبود هتروزیگوت در جمعیت آماره می‌باشد، با کمک معادله $F_{is} = 1 - \frac{H_o}{H_s}$ محاسبه گردید. همچنین برای هر جایگاه آماره محتوای اطلاعات چند شکلی (Polymorphic Information Content (PIC)) برآورد گردید (Botstein و همکاران، ۱۹۸۰). فرمول مورد استفاده شامل:

$$PIC = 1 - \sum_{i=1}^n p_i^2 - \sum_{i=1}^{n-1} \sum_{j=i+1}^n 2p_i^2 p_j^2$$

بود که p_i و p_j به ترتیب فراوانی آلل i و j می‌باشند. برای تمامی جایگاه‌های مورد مطالعه از آزمون مرربع کای (Chi-square) جهت بررسی معنی داری انحراف ژنتوتایپ مشاهده شده از مورد انتظار استفاده گردید. برای انجام آنالیزهای مورد نظر از نرم افزار FSTAT v. 2.9. 3.2 (Goudet، ۲۰۰۲) و زبان برنامه نویسی R استفاده گردید. در ادامه برای بررسی ارتباط بین جایگاه‌ها linkage disequilibrium (LD) با کمک پکیج genepop در زبان برنامه نویسی R انجام شد (Rousset، ۲۰۰۸). برای انجام آزمون احتمالی (Roussset، ۲۰۱۴)، برای انجام آزمون احتمالی (contingency table) بین دو جایگاه STR ایجاد شده و سپس آزمون G (آزمون احتمالات) برای هر جدول با کمک الگوریتم زنجیره مارکوف (Markov chain algorithm) انجام می‌شود (Rousset و Raymond، ۱۹۹۵).

اندازه‌ی موثر جمعیت برای نسل حال حاضر (Contemporary) با استفاده از اطلاعات STR به وسیله نرم افزار (N_e) محاسبه شد (NeEstimator V2.1) Do و همکاران (۲۰۱۴). برای این منظور از یک برآوردگر تک جمعیتی بر پایه‌ی اطلاعات

روش LD عملکرد بهتری نشان می‌دهد (Do و Waples). ۲۰۰۸.

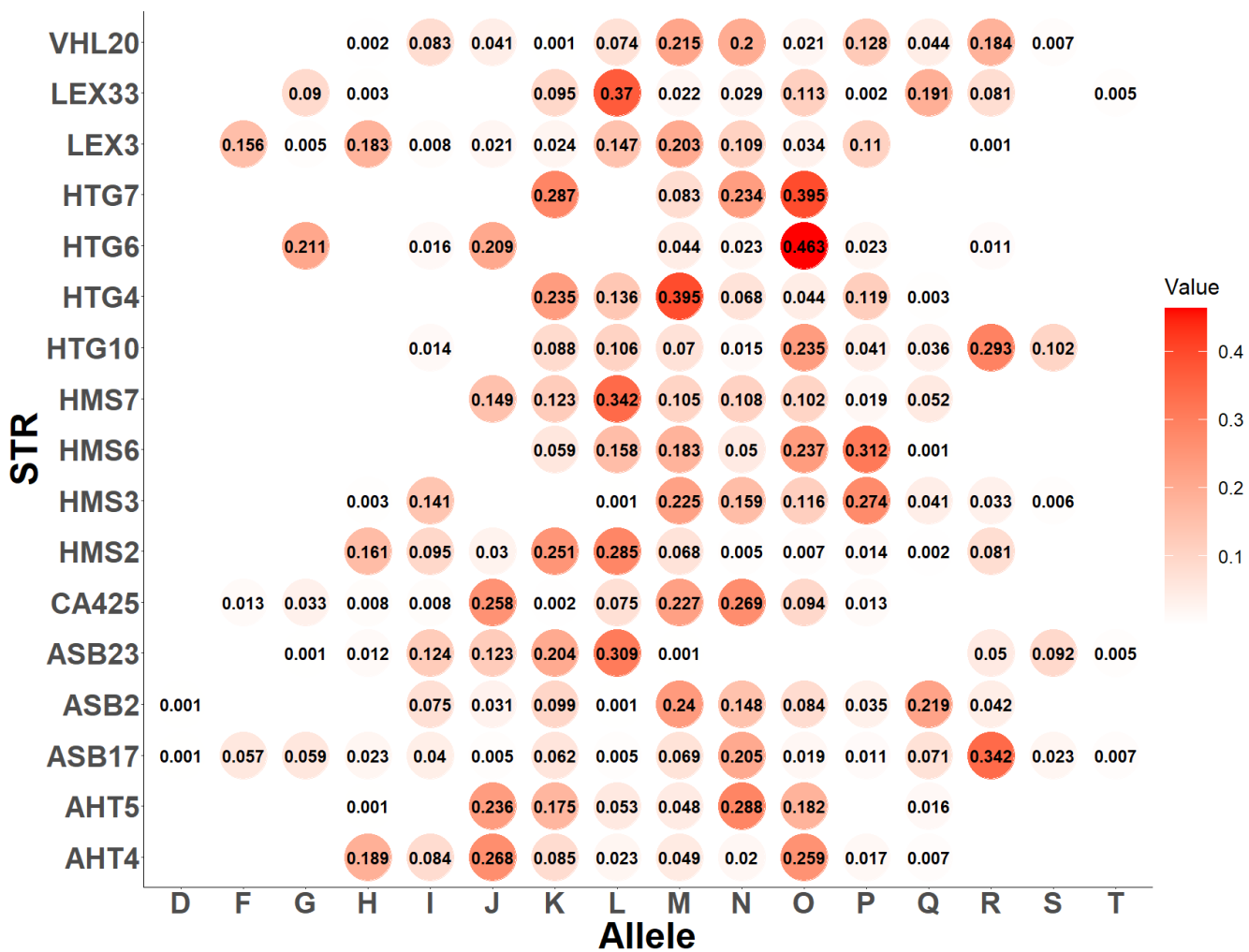
نتایج و بحث

فراوانی آللی برای ۱۷ جایگاه STR در شکل ۱ نشان داده شده است. بیشترین و کمترین تعداد آلل مشاهده شده به ترتیب مربوط به جایگاه‌های ASB17 و HTG7 با تعداد ۱۶ و ۴ آلل بودند. این تعداد آلل مشاهده شده نسبت به مطالعات قبلی که بر روی اسپ کاسپین انجام شده (Amirinia و همکاران، ۲۰۰۷؛ Seyedabadi و همکاران، ۲۰۰۶)، بیشتر بوده که به نشان دهنده این مطلب خواهد بود که در گذشته تعداد و نمونه گرفته شده برای این مطالعات کافی نبودند. نتایج نشان داد که تنوع آللی مشاهده شده برای جایگاه‌های STR در جمعیت کاسپین بسیار بیشتر از آن مقداری بوده که قبلاً تصور می‌شد و این تنوع می‌تواند برای انجام مطالعات ژنتیکی و همچنین تست انساب بسیار مفید باشند.

LD که قادر به تصحیح اریب ناشی از کوچکتر بودن نمونه‌ی مورد مطالعه از اندازه موثر جمعیت واقعی می‌باشد به کار گرفته شد (Do و Waples). تخمین ناریب از اندازه موثر جمعیت با استفاده از فرمول ارائه شده توسط Waples و Do (۲۰۱۰) به صورت زیر محاسبه شد:

$$\widehat{N}_e = \frac{1}{3(\hat{\pi}^2 - 1/S)},$$

در فرمول بالا، $\hat{\pi}^2$ توان دوم همبستگی فراوانی‌های آللی در جایگاه‌های جفت شده بوده که برای خطای نمونه‌گیری و رانش ژنتیکی تصحیح شده است. S تعداد نمونه‌ها می‌باشد. برای این آنالیز، جمعیت دارای جفت‌گیری تصادفی فرض شده است. STR هایی که دارای حداقل فراوانی برای آلل کوچک به ترتیب ۰.۱، ۰.۰۵، ۰.۰۲ و صفر بودند از معادله محاسبه‌ی اندازه موثر جمعیت حذف شدند. از هر دو روش پارامتری و ناپارامتری (jackknife) جهت برآورد دامنه اطمینان اندازه موثر محاسبه شده استفاده گردید. روش jackknife به منظور محاسبه فاصله‌ی اطمینان مورد استفاده قرار گرفت، زیرا این روش برای



شکل ۱. نمودار فراوانی آلتی برای ۱۷ جایگاه توالی‌های تکرارشونده کوتاه (STR) (CCS).
بر اساس اطلاعات حاصل از انجمان حفاظت از اسب کاسپین (CCS).

ASB23 و HMS2 با مقدار ۰/۸۲۵ و ۰/۸۲۵ همچنین کمترین مقدار هتروزیگوستی مشاهده در اسب کاسپین مربوط به جایگاه LEX3 با ۰/۰۴۹ بوده که همین جایگاه بیشترین H_e با ۰/۸۵۳ را به خود اختصاص داده بود. این اختلاف بسیار زیاد در این جایگاه موجب شده تا مقدار F_{IS} برآورده شده برای این جایگاه بیشترین باشد. به طور کلی، میانگین کلی H_e برآورده شده در جمعیت اسب کاسپین در این مطالعه ($0/796 \pm 0/045$)، با مقادیر گزارش شده برای H_e در سایر مطالعات برای نژادهای مختلف همخوانی داشت (Amjadi و همکاران، ۲۰۲۱؛ A. Khanshour و همکاران، ۲۰۱۳؛ Van de A.M. Khanshour و همکاران، ۲۰۱۳).

برای درک بهتر نوع ژنتیکی مشاهده شده در جمعیت اسب کاسپین با کمک اطلاعات STR، آماره‌های مختلف جهت بررسی برآورد گردید (جدول ۱). در مطالعه قبلی که بر روی پنج جمعیت اسب در ایران شامل کاسپین، اصیل ایرانی، ترکمن، تاروبرد و آمیخته ترکمن-تاروبرد صورت گرفت بیشترین هتروزیگوستی مشاهده شده مربوط به جایگاه‌های AHT4 و LEX33 با ۰/۸۲ بود (Seyedsharifi و همکاران، ۲۰۱۹). در مقابل کمترین مقدار هتروزیگوستی مشاهده شده در همان مطالعه مربوط به جایگاه ASB17 با ۰/۰۶۶ بود. در مطالعه حال حاضر، بیشترین هتروزیگوستی مشاهده شده مربوط به دو جایگاه

از تعادل هاردی-واینبرگ نشان داد. در کل ۵ جایگاه از تعادل هاردی واینبرگ انحراف معنی داری نشان دادند ($p-value < 0.05$). تنوع ژنتیکی مشاهده شده برای جایگاههای STR در این مطالعه نسبت به مطالعات قبلی که بر روی اسب کاسپین انجام شده بود، بیشتر بودند. برای مثال PIC برآورده شده در این مطالعه بیشتر از مطالعات قبل بودند (Amirinia و همکاران، ۲۰۰۷؛ Seyedabadi و همکاران، ۲۰۰۶). مهمترین دلیل مشاهده تنوع بیشتر به احتمال زیاد تعداد نمونه بیشتر مورد استفاده در این تحقیق بوده است.

Goor و همکاران، ۲۰۱۱). همچنین بیشترین غنای آلی بدست آمده مربوط به جایگاهی بود که بیشترین تعداد آلل (ASB17) را داشت و بر عکس (HTG7). به طور کلی دامنه غنای آلی بدست آمده در این مطالعه با مطالعات قبلی که بر روی جمعیت اسب‌های ایران انجام شده بود همخوانی داشت (Seyedsharifi و همکاران، ۲۰۱۹). یکی از مهمترین آماره‌های مورد بررسی PIC می‌باشد. هرچه این آماره برای STR بیشتر باشد، آن جایگاه جهت تمایز افراد و بررسی ارتباط بین افراد مفیدتر خواهد بود. از نظر PIC LEX3 جایگاه بیشترین اطلاعات را درخصوص تنوع جمعیتی در اختیار قرار داده، که همین جایگاه بیشترین انحراف را

جدول ۱. برآوردهای^۱ مرتبط با تنوع جایگاه‌های توالی‌های تکراری کوتاه (STR) برای اسب کاسپین (CCS).

(p-value, df)	HWE	مقدار مربع کای برای آزمون	PIC	F _{IS}	تنوع ژنی	غنای آلی	H _e	H _o	STR
(۰.۵۴, ۳۰/۹)		۰/۷۸۱	۰/۰۰۲	۰/۸۰۸	۹/۹۹۳	۰/۸۰۷	۰/۸۰۷		
(۱, ۳۵) ۲۵/۷		۰/۷۶۱	-۰/۰۰۴	۰/۷۹۳	۷/۵۲۱	۰/۷۹۲	۰/۷۹۶		
(۱, ۱۳۵) ۱۱۵/۱		۰/۸	۰/۰۲۵	۰/۸۱۸	۱۵/۶۸۳	۰/۸۱۷	۰/۷۹۸		
(۱۱e-۶۸, ۹۰) ۲۱۷/۳		۰/۸۲۸	۰/۰۳۳	۰/۸۴۷	۱۲/۰۳	۰/۸۴۶	۰/۸۱۹		
(۱, ۷۷) ۸۳/۴		۰/۷۹۵	-۰/۰۱۳	۰/۸۱۸	۱۱/۳۶۲	۰/۸۱۷	۰/۸۲۸		
(۱, ۶۵) ۶۶/۷		۰/۷۶۳	۰/۰۰۴	۰/۷۹۵	۱۱	۰/۷۹۴	۰/۷۹۲		
(۱, ۶۵) ۳۸/۴		۰/۷۸۳	-۰/۰۰۲	۰/۸۱	۱۰/۹۳۲	۰/۸۰۸	۰/۸۲۸		
(۱, ۵۴) ۵۷/۲		۰/۷۸۷	۰/۰۵۴	۰/۸۱۴	۹/۳۸۲	۰/۸۱۳	۰/۷۷		
(۱, ۲۷) ۲۶/۴		۰/۷۴۹	-۰/۰۰۳	۰/۷۸۳	۶/۵۰۷	۰/۷۸۲	۰/۷۸۶		
(۱, ۳۵) ۴۱/۸		۰/۷۸۸	۰/۰۱۵	۰/۸۱	۸	۰/۸۱	۰/۷۹۸		
(۰/۰۰۳, ۵۴) ۹۸/۹		۰/۸	۰/۱۰۹	۰/۸۲۲	۱۰	۰/۸۲۱	۰/۷۳۳		
(۰/۱۰۴, ۲۷) ۴۸/۹		۰/۷۱۵	۰/۰۰۵	۰/۷۵	۶/۸۸	۰/۷۵	۰/۷۴۷		
(۱, ۳۵) ۴۰/۷		۰/۶۵	۰/۰۴۶	۰/۶۹۵	۸	۰/۶۹۴	۰/۶۶۳		
(۱, ۹) ۱/۹		۰/۶۴۴	-۰/۰۱۲	۰/۷۰۱	۴	۰/۷	۰/۷۰۹		
(۳/۹۸e-۱۱۴, ۷۷) ۷۷۲/۵		۰/۸۳۶	۰/۴۲۷	۰/۸۵۵	۱۱/۶۶۹	۰/۸۵۳	۰/۴۹		
(۲/۹۵e-۳۷, ۶۵) ۳۳۷/۸		۰/۷۶۵	۰/۰۳۸	۰/۷۹	۱۰/۸۶۲	۰/۷۸۹	۰/۷۶		
(۲/۲۲e-۷۲, ۷۷) ۵۵۵/۷		۰/۸۲۹	۰/۰۳۷	۰/۸۴۸	۱۱/۲۵۷	۰/۸۴۷	۰/۸۱۷		

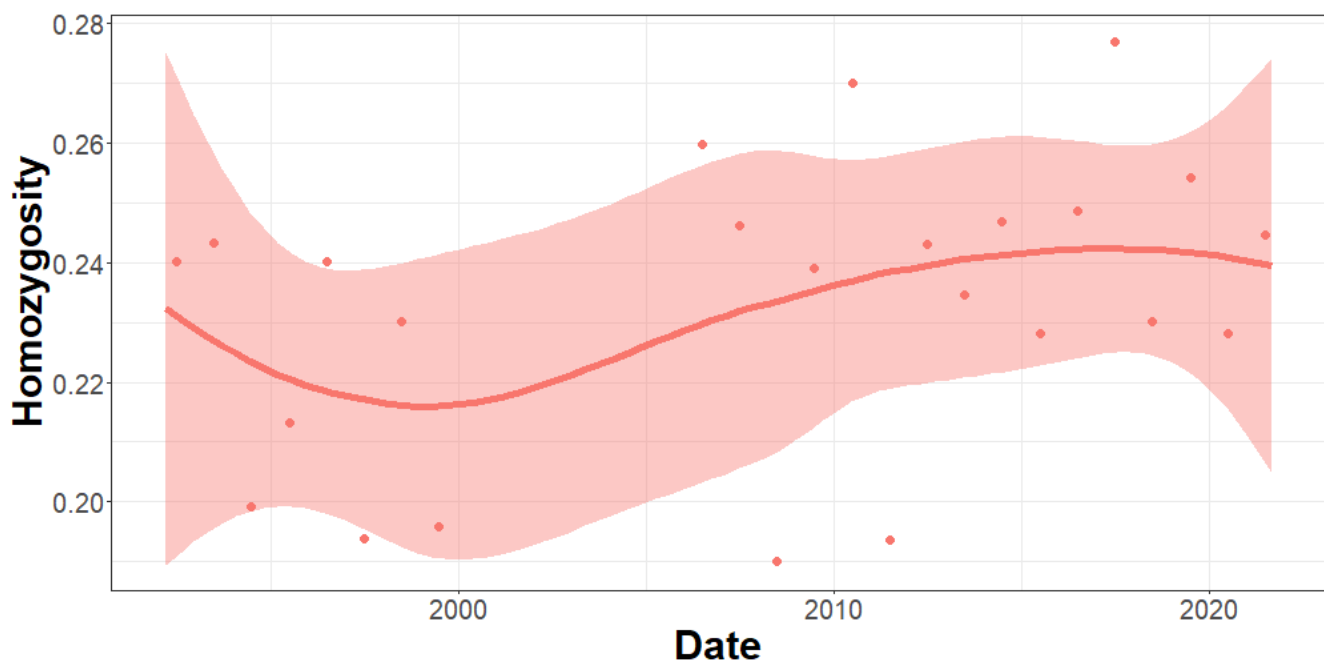
^۱H_o، هتروزیگوستی مشاهده شده؛ H_e، هتروزیگوستی مورد انتظار؛ PIC، محتوای اطلاعاتی چند شکلی (Polymorphic Information Content).

آزمون هاردی-واینبرگ؛ df، درجه آزادی.

^۲ مقادیر p-value براساس تصحیح Bonferroni برای ۱۷ آزمون نشان داده شده است.

برای بررسی تغییرات در میزان هموژایگوستی در جایگاه‌های مورد مطالعه در طی زمان، روند درصد جایگاه‌های هموژایگوت در سال‌های مختلف مطالعه گردید (شکل ۲). برای این منظور تنها اطلاعات سال‌هایی استفاده شدند که حداقل ۱۰ زایش در برای آن ثبت شده بود. نمودار روند تغییرات نشان می‌دهد که میزان هموژایگوستی در سال‌های اخیر افزایشی بوده و می‌تواند تاییدی بر افزایش میزان همخونی مشاهده شده بر اساس اطلاعات شجره در این تحقیق باشد. بنابراین می‌بایست برای اجرای آمیزش‌های کنترل شده جهت جلوگیری از افزایش میزان همخونی برنامه ریزی صورت گرفته تا تنوع موجود هر چه بیشتر حفظ گردد.

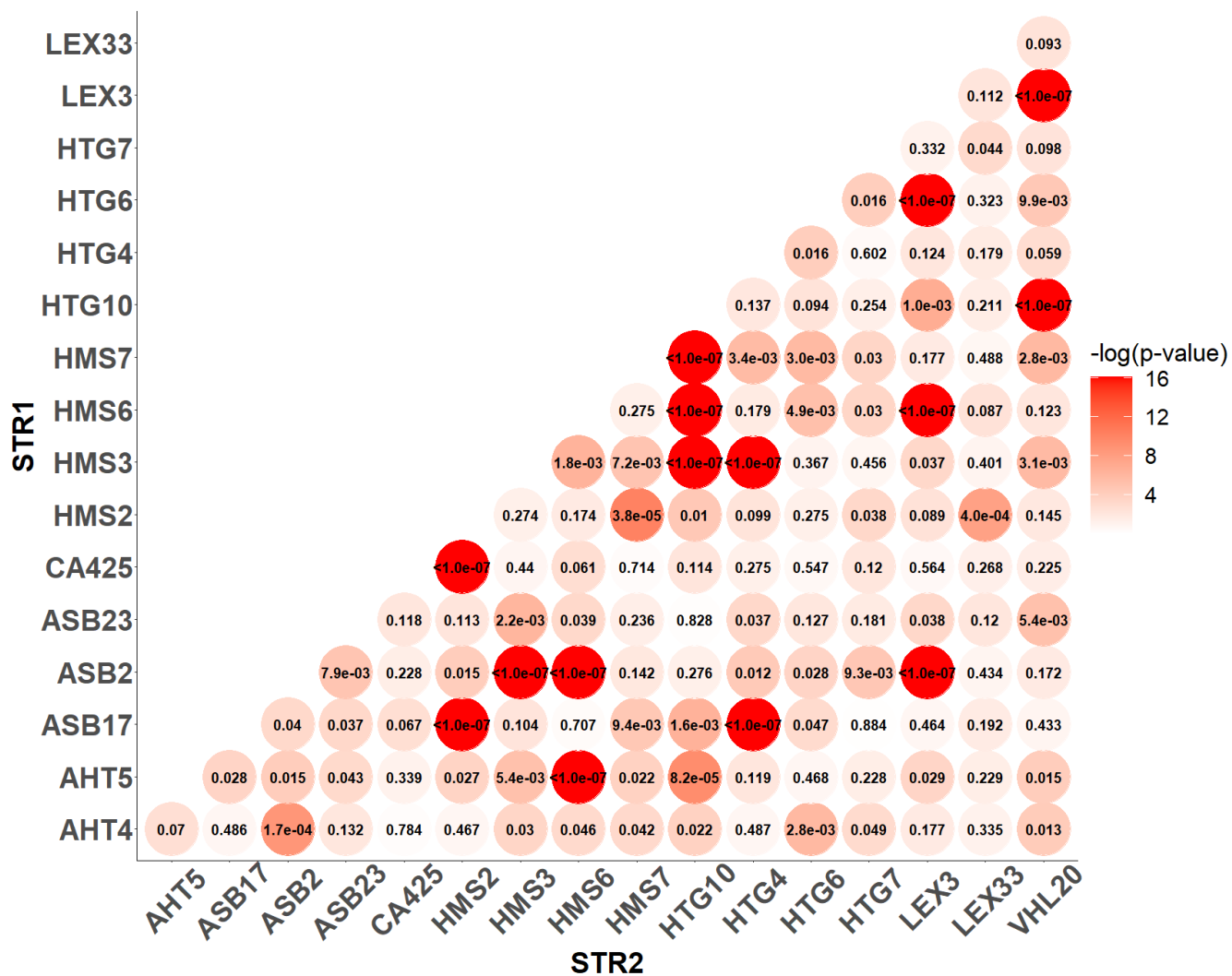
به طور کلی استفاده از اطلاعات STR جهت شناسایی فردی، تصحیح خطاهای احتمالی در شجره، و همچنین بررسی ساختار ژنتیکی اسب متدائل می‌باشد (Brinsko و همکاران، ۲۰۱۰). نتایج ارائه شده در این بخش می‌تواند برای مطالعات آینده جهت اهداف ذکر شده مورد استفاده قرار گرفته تا بهترین جایگاه یا ترکیب جایگاهی بر اساس هدف مطالعه انتخاب گردد. برای مثال جایگاه‌های که بیشترین غنای آللی را نشان دادند و تنوع آللی خوبی داشتند (مانند جایگاه ASB17) جهت انجام آزمون انساب بسیار مناسب می‌باشند. همچنین جایگاه‌هایی با بیشترین PIC (مانند LEX3) می‌توانند برای مطالعات جمعیتی مفید‌تر باشند.



شکل ۲. روند تغییرات هموژایگوستی برای ۱۷ جایگاه STR طی سال‌های مختلف. در این نمودار میانگین هموژایگوستی اسب‌های متولد شده در هر سال به صورت نقطه قرمز نشان داده شده است.

(HMS2) به طور معنی داری در حالت LD قرار داشت. مشاهده این مقدار زیاد LD با وجودی که بر روی کروموزوم‌های مختلف قرار دارند، می‌تواند نشان دهنده وجود ساختار جمعیتی در اسب‌های کاسپین بوده که نتیجه فرآیندهایی مانند انتخاب و تنگی‌ای ژنتیکی باشد که در مطالعات قبلی نیز نشان داده شده بودند (Amirinia و همکاران، ۲۰۰۷).

نتایج P-value برای آزمون LD برای تمام جفت جایگاه‌های STR در شکل ۳ نشان داده شده است. این آزمون نشان داد که LD بین تعداد زیادی از جایگاه‌های STR به صورت معنی داری LD وجود دارد. بیشترین تعداد LD مشاهده شده مربوط به جایگاه HTG10 بود که با ۱۱ جایگاه STR به طور معنی داری LD نشان داد. در مقابل LEX33 تنها با دو جایگاه (HTG7 و HTG33)



شکل ۳. نمودار P-value محاسبه شده برای آزمون عدم تعادل پیوستگی (LD) بین جایگاه‌های STR

شده برای Ne در این مطالعه که با کمک تنها ۱۷ جایگاه STR انجام شد، با برآوردهای انجام شده با کمک بیش از ۴۰۰۰ جایگاه SNP در مطالعه قبلی که میزان Ne را ۹۸ برآورد نموده بود (Mousavi و همکاران، ۲۰۲۳)، بسیار نزدیک بود. این امر نشان می‌دهد که اطلاعات STR می‌توانند برآورده دقیق از جمعیت در اسب ارائه دهند. با توجه به اینکه تنوع ژنتیکی با کاهش Ne به کمتر از ۱۰۰ با سرعت فرایندهای کاهش می‌یابد (Henson، ۱۹۹۲)، به نظر می‌رسد که وضعیت جمعیت اسب کاسپین در شرایط مطلوبی نبوده و می‌بایست در خصوص حفظ ذخایر ژنتیکی این نژاد برنامه‌های حفاظتی اجرا گردد.

برآوردهای انجام شده برای Ne با استفاده از ۱۷ جایگاه STR برای اسب کاسپین در جدول ۲ نشان داده شده است. با استفاده از غربالگری آلل نادر با مقادیر بحرانی ۰/۰۵ تا ۰/۰۵ میزان اثرات آلل های با فراوانی پایین بر تخمین Ne مشخص گردید. میزان Ne برآورده شده بین ۰/۰۵ تا ۰/۰۵/۵ (با حذف آلل هایی با فراوانی کمتر از ۰/۰۵ درصد) تا ۰/۱۳۹/۶ (بدون حذف آلل های با فراوانی کم) متغیر بود. این نتایج نشان می‌دهند که آلل هایی با فراوانی کم می‌توانند تاثیر زیادی بر میزان Ne با کمک اطلاعات STR داشته باشند. بنابراین، پیشنهاد می‌گرددتا برای برآورده واقعی تر از Ne جمعیت، حذف آلل های نادر قبل از برآورده انجام شود. برآوردهای انجام

جدول ۲. اندازه موثر محاسبه شده با کمک جایگاه های توالی های توالي (STR) اسب کاسپین حاصل از اطلاعات CCS.

کمترین فراوانی آلل استفاده شده	اندازه موثر	دامنه اطمینان با روش پارامتری	دامنه اطمینان با روش ناپارامتری	دامنه اطمینان با روش پارامتری
۰/۰۵	۸۴/۵	۹۱/۴ الی ۷۸/۳	۹۹/۸ الی ۷۱/۸	
۰/۰۲	۹۶/۱	۱۰۲/۴ الی ۹۰/۳	۱۱۲/۰ الی ۸۲/۸	
۰/۰۱	۱۰۵/۵	۱۱۲/۰ الی ۹۹/۵	۱۲۱/۴ الی ۹۲/۱	
۰/۰۰	۱۳۹/۶	۱۴۸/۴ الی ۱۳۱/۵	۱۶۴/۹ الی ۱۱۹/۱	

نتیجه گیری

دقیقی از Ne جمعیت داشته باشد. میزان Ne برآورد شده برای این نژاد که حدود ۱۰۰ راس بود، نشان داد که وضعیت تنوع ژنتیکی این جمعیت در شرایط بحرانی بوده و می بایست در خصوص حفظ این تنوع در نسل های بعد برنامه های حفظ نژادی اجرا گردد.

تشکر و قدردانی

نویسنندگان این مقاله از انجمن حفاظت از اسب کاسپین (Caspian Conservation Society) برای در اختیار قرار دادن اطلاعات جمعیت اسب کاسپین ایران تشکر و قدردانی می نمایند.

نتایج این مطالعه نشان داد که جایگاه های STR در جمعیت کاسپین دارای تنوع آللی بسیار بیشتر از آن مقداری بوده که قبل از تصور می شده، به طوری که غنای آللی تا بالای ۱۵ نیز مشاهده گردید. و این تنوع می تواند برای انجام مطالعات ژنتیکی و همچنین تست انساب بسیار مفید باشند. با این وجود این تنوع مشاهده شده رو به کاهش بوده به طوری که روند افزایشی در میزان هموزایگوستی تا حدود ۲۰ سال اخیر مشاهده گردید. این افزایش در هموزایگوستی یک زنگ خطری است برای توجه بیشتر به ساختار جمعیتی این نژاد جهت اجرای آزمیش های کنترل شده برای جلوگیری از افزایش میزان همخونی تا نوع موجود هر چه بیشتر حفظ گردد. مطالعه حال حاضر نشان داد که مقادیر Ne محاسبه شده با کمک STR می تواند برآورد

منابع

- Achmann, R. Curik, I. Dovc, P. Kavar, T. Bodo, I. Habe, F. Marti, E. Sölkner, J. and Brem, G. (2004). Microsatellite diversity, population subdivision and gene flow in the Lipizzan horse. *Animal genetics*. 35 (4): 285-292.
- Amirinia, C. Seyedabadi, H. Banabazi, M.H. and Kamali, M.A. (2007). Bottleneck study and genetic structure of Iranian Caspian horse population using microsatellites. *Pak. J. Biol. Sci.* 10 (9): 1540-1543.
- Amjadi, M.A. Yeganeh, H.M. Sadeghi, M. Raza, S.H.A. Yang, J. Najafabadi, H.A. Batool, U. Shoorei, H. Abdelnour, S.A. and Ahmed, J.Z. (2021). Microsatellite analysis of genetic diversity and population structure of the Iranian Kurdish Horse. *Journal of Equine Veterinary Science*. 98: 103358.
- Botstein, D. White, R.L. Skolnick, M. and Davis, R.W. (1980). Construction of a genetic linkage map in man using restriction fragment length polymorphisms. *American journal of human genetics*. 32 (3): 314.
- Brinsko, S.P. Blanchard, T.L. Varner, D.D. Schumacher, J. and Love, C.C. (2010). *Manual of equine reproduction*. Elsevier Health Sciences.
- Dimsoski, P. (2003). Development of a 17-plex microsatellite polymerase chain reaction kit for

- genotyping horses. *Croatian medical journal.* 44 (3): 332-335.
- Do, C. Waples, R.S. Peel, D. Macbeth, G.M. Tillett, B.J. and Ovenden, J.R. (2014). NeEstimator v2: re-implementation of software for the estimation of contemporary effective population size (N_e) from genetic data. *Mol Ecol Resour.* 14 (1): 209-214. doi.org/10.1111/1755-0998.12157
- El Mousadik, A. and Petit, R. (1996). High level of genetic differentiation for allelic richness among populations of the argan tree [Argania spinosa (L.) Skeels] endemic to Morocco. *Theoretical and Applied Genetics.* 92: 832-839.
- Falconer, D. and Mackay, F. (1996). Introduction to Quantitative Genetics (*Introduction to Quantitative Genetics* (pp. 464-464).
- Goudet, J. (2002). FSTAT, a program to estimate and test gene diversities and fixation indices (version 2.9. 3.2). <http://www.unil.ch/izea/softwares/fstat.html>
- Henson, E.L. (1992). *In situ conservation of livestock and poultry.* Food and Agriculture Organization of the United Nations Rome.
- Keller, M.C. Visscher, P.M. and Goddard, M.E. (2011). Quantification of inbreeding due to distant ancestors and its detection using dense single nucleotide polymorphism data. *Genetics.* 189 (1): 237-249. doi.org/10.1534/genetics.111.130922
- Khanshour, A. Conant, E. Juras, R. and Cothran, E.G. (2013). Microsatellite analysis of genetic diversity and population structure of Arabian horse populations. *Journal of Heredity.* 104 (3): 386-398.
- Khanshour, A.M. Juras, R. and Cothran, E.G. (2013). Microsatellite analysis of genetic variability in Waler horses from Australia. *Australian journal of zoology.* 61 (5): 357-365.
- Machmoum, M. Boujenane, I. Azelhak, R. Badaoui, B. Petit, D. and Piro, M. (2020). Genetic diversity and population structure of Arabian horse populations using microsatellite markers. *Journal of Equine Veterinary Science.* 93: 103200.
- Meuwissen, T. (2009). Genetic management of small populations: A review. *Acta Agriculturae Scandinavica, Section A — Animal Science.* 59 (2): 71-79. doi.org/10.1080/09064700903118148
- Mousavi, S.F. Razmkabir, M. Rostamzadeh, J. Seyedabadi, H.-R. Naboulsi, R. Petersen, J.L. and Lindgren, G. (2023). Genetic diversity and signatures of selection in four indigenous horse breeds of Iran. *Heredity.* 131 (2): 96-108. doi.org/10.1038/s41437-023-00624-7
- Neaves, L.E. Eales, J. Whitlock, R. Hollingsworth, P.M. Burke, T. and Pullin, A.S. (2015). The fitness consequences of inbreeding in natural populations and their implications for species conservation – a systematic map. *Environmental Evidence.* 4 (1): 5. doi.org/10.1186/s13750-015-0031-x
- Nei, M. (1987). *Molecular evolutionary genetics.* Columbia university press.
- Nei, M. Maruyama, T. and Chakraborty, R. (1975). The bottleneck effect and genetic variability in populations. *Evolution:* 1-10.
- Notter, D.R. (1999). The importance of genetic diversity in livestock populations of the future. *Journal of Animal Science.* 77 (1): 61-69.
- Raymond, M. and Rousset, F. (1995). An exact test for population differentiation. *Evolution:* 1280-1283.
- Rousset, F. (2008). genepop'007: a complete re-implementation of the genepop software for Windows and Linux. *Mol Ecol Resour.* 8 (1): 103-106.
- Scherf, B.D. (2000). *World watch list for domestic animal diversity.* Food and Agriculture Organization (FAO).
- Seyedabadi, H. Amirinia, S. BANA, B.M. and Emrani, H. (2006). Parentage verification of

Iranian Caspian horse using microsatellites markers. *Iranian journal of biotechnology* 4 (4), 260-264.

Seyedsharifi, R. Badbarin, S. Khamisabadi, H. Hedayat, E.N. and SEIF, D.J. (2019). Study of Genetic Structure and Accuracy of Assignment of Individuals to Five Horse Populations using Microsatellite Markers.

Shahsavarani, H. and Rahimi-Mianji, G. (2010). Analysis of genetic diversity and estimation of inbreeding coefficient within Caspian horse

population using microsatellite markers. *African Journal of Biotechnology*. 9 (3)

Van de Goor, L. Van Haeringen, W. and Lenstra, J. (2011). Population studies of 17 equine STR for forensic and phylogenetic analysis. *Animal genetics*. 42 (6): 627-633.

Waples, R.S. and Do, C. (2008). LDNE: a program for estimating effective population size from data on linkage disequilibrium. *Mol Ecol Resour*. 8 (4): 753-756.

Wright, S. (1931). Evolution in Mendelian populations. *Genetics*. 16 (2): 97.